

УДК 539.3
КП
№ госрегистрации 0110U004791
Ин. №

Министерство образования и науки Украины
Сумской государственный университет

40007, г.Сумы, ул.Римского-Корсакова,2
тел. (0542) 33-40-49, факс (0542) 33-40-58,
e-mail: info@sci.sumdu.edu.ua

УТВЕРЖДАЮ
Проректор по научной работе
д.ф.-м.н., профессор
_____ А. Н. Черноус

ОТЧЕТ
О НАУЧНО-ИССЛЕДОВАТЕЛЬСКОЙ РАБОТЕ

МАТЕМАТИЧЕСКОЕ МОДЕЛИРОВАНИЕ ТЕПЛОВЫХ
И МЕХАНИЧЕСКИХ ПОЛЕЙ В ПРОЦЕССЕ ФАЗОВЫХ
ПРЕВРАЩЕНИЙ МАТЕРИАЛА
(заключительный)

Начальник НИЧ
к.ф.-м.н., снс

Д. И. Курбатов

Руководитель НИР
к.ф.-м.н., доцент

В. А. Ячменёв

2015

Рупись закончена 25 листопада 2015 г.

Результаты этой работы рассмотрены научным советом,
протокол от 2015.11.26 № 3

Список авторов

Руководитель НИР
к.ф.-м.н., доцент

В. А. Ячменёв

ст. преподаватель

В. А. Клименко

ст. преподаватель

В. В. Николенко

РЕФЕРАТ

Отчет о НИР: Цель работы состояла в разработке методов исследования и расчета тепловых полей в материалах, обладающих сложной структурой (в частности, в наноматериалах и тонких плёнках) с учетом наличия в них подвижных границ.

Вначале поставлены и решены две вспомогательные задачи: задача о расчёте тепловых полей в ограниченном стержне в условиях аномальной теплопроводности и задача о расчёте тепловых полей в составном полуограниченном стержне.

Обе задачи описываются дифференциальными уравнениями с дробными производными. В обоих случаях решения получены в конечном виде.

В заключении работы сформулирована и поставлена задача Стефана для двухфазной среды (то есть задача с подвижной границей) в случае аномальной теплопроводности и намечены пути её решения.

СОДЕРЖАНИЕ

Вступление.....	5
1. Задача Стефана в классической постановке.....	6
2. Точное решение начально-краевой задачи для уравнения аномальной диффузии.....	12
2.1 Введение.....	12
2.2 Постановка задачи и математическая модель.....	12
2.3 Решение задачи.....	13
3 Расчет температурных полей в составном полубесконечном теле с учетом обобщенного закона Фурье.....	17
3.1 Постановка задачи.....	18
3.2 Решение задачи.....	20
3.3 Выводы.....	25
4 Задача Стефана в случае аномальной диффузии.....	27
5 Выводы	
6 Перечень ссылок.....	31

ВСТУПЛЕНИЕ

Изучение физических полей в процессе фазовых превращений в математическом смысле сводится к решению краевых задач математической физики с подвижными границами. Между тем построение аналитических решений для краевых задач теплообмена в системах со свободными границами является одной из труднейших проблем в современной теории математической физики.

Ввиду зависимости положения границы раздела от времени к этому классу задач неприменимы классические методы матфизики, так как не удается согласовать решения уравнений теплопроводности с движением границы фазового перехода.

Одним из первых шагов в решении задач такого рода было решение задачи для системы «лёд-вода» в известных работах И.Стефана, представленное нами в первом разделе.

Задача становится более трудной при изучении материалов, обладающих усложнённой структурой, (например, фрактальной) или эффектом памяти, т.е. в случае, когда классический закон Фурье не выполняется.

В этом случае исследование температурных полей сводится к решению дифференциальных уравнений с дробными производными.

Цель работы – получение аналитических решений ряда краевых задач для уравнений с дробными производными и построение математической модели описывающей процесс движения фазовой границы в случае

аномальной диффузии т.е. в том случае, когда процесс описывается уравнениями с дробными производными.

1. ЗАДАЧА СТЕФАНА В КЛАССИЧЕСКОЙ ПОСТАНОВКЕ

При изменении температуры тела, в частности, при переходе через точку плавления может происходить переход от твердой фазы в жидкую и наоборот.

При построении математической модели для плоской задачи принимаются во внимание следующее:

- а) агрегатное состояние вещества (среды) изменяется вследствие теплопроводности среды;
- б) передача тепла описывается уравнением теплопроводности;
- в) на границе $x = \xi(t)$ фазового перехода выполняется условие Стефана то есть

$$k_1 \frac{\partial u_1}{\partial x} \Big|_{x=\xi} - k_2 \frac{\partial u_2}{\partial x} \Big|_{x=\xi} = \lambda \rho \frac{\partial \xi}{\partial t},$$

где λ – скрытая теплота кристаллизации,

ρ – плотность образующейся фазы,

k_1 и k_2 – коэффициенты теплопроводности соответственно твердой и жидкой фазы.

Рассмотрим процесс замерзания воды, при котором температура фазового перехода равна нулю. Будем рассматривать массу воды $x \geq 0$, ограниченную с одной стороны плоскостью $x = 0$. В начальный момент $t = 0$ вода имеет постоянную температуру $c > 0$. Если на поверхности

$x = 0$ все время поддерживается постоянная температура $c_1 < 0$, то граница замерзания $x = \xi$ будет со временем проникать в глубь жидкости.

Задача о распределении температуры при наличии фазового перехода и о скорости движения границы раздела фаз (например, внутри замерзающей воды) сводится к решению уравнений

$$\left. \begin{aligned} \frac{\partial u_1}{\partial t} &= a_1^2 \frac{\partial^2 u_1}{\partial x^2} \text{ для } 0 < x < \xi, \\ \frac{\partial u_2}{\partial t} &= a_2^2 \frac{\partial^2 u_2}{\partial x^2} \text{ для } \xi < x < \infty. \end{aligned} \right\} \quad (1.1)$$

с дополнительными условиями

$$\left. \begin{aligned} u_1 &= c_1 \text{ при } x = 0 \\ u_2 &= c \text{ при } t = 0 \end{aligned} \right\} \quad (1.2)$$

и условиями на границе замерзания

$$u_1 = u_2 = 0 \text{ при } x = \xi, \quad (1.3)$$

$$k_1 \frac{\partial u_1}{\partial x} \Big|_{x=\xi} - k_2 \frac{\partial u_2}{\partial x} \Big|_{x=\xi} = \lambda \rho \frac{\partial \xi}{\partial t}, \quad (1.4)$$

где k_1, k_2, a_1^2, a_2^2 – коэффициенты теплопроводности твердой и, соответственно, жидкой фазы. Изложение решения проведём следуя работе [1].

Задачу (1.1) – (1.4) часто называют задачей Стефана, задачей о фазовом переходе или задачей о промерзании.

Итак, решение задачи будем искать в виде

где A_1, B_1, A_2, B_2 – пока неопределенные постоянные, а Φ – интеграл ошибок

$$\Phi(x) = \frac{2}{\sqrt{\pi}} \int_0^x e^{-\xi^2} d\xi.$$

Удовлетворяя условиям (1.2), получим:

$$A_1 = c_1, \quad A_2 + B_2 = c,$$

а из условия (1.3) имеем

Последнее условие должно иметь место для любых значений t . Это возможно лишь при выполнении соотношения

$$\xi = \alpha\sqrt{t}, \quad (1.5)$$

где α – некоторая постоянная. Соотношение (1.5) определяет закон движения границы замерзания.

Для постоянных A_1, B_1, A_2, B_2 и α получаются выражения

$$\left. \begin{aligned} A_1 &= c_1, & B_1 &= -\frac{c_1}{\Phi\left(\frac{\alpha}{2a_1}\right)} \\ A_2 &= -\frac{c \Phi\left(\frac{\alpha}{2a_2}\right)}{1 - \Phi\left(\frac{\alpha}{2a_2}\right)}, & B_2 &= -\frac{c}{1 - \Phi\left(\frac{\alpha}{2a_2}\right)} \end{aligned} \right\} \quad (1.6)$$

Чтобы определить постоянную α , надо воспользоваться соотношением (1.4)

$$\frac{k_1 c_1 e^{-\frac{\alpha^2}{4a_1^2}}}{a_1 \Phi\left(\frac{\alpha}{2a_1}\right)} + \frac{k_2 c e^{-\frac{\alpha^2}{4a_2^2}}}{a_2 \left(1 - \Phi\left(\frac{\alpha}{2a_2}\right)\right)} = -\lambda \rho \alpha \frac{\sqrt{\pi}}{2}. \quad (1.7)$$

$$a_1 \Phi\left(\frac{\alpha}{2a_1}\right)$$

Решение этого трансцендентного уравнения и дает значение α . Наличие хотя бы одного решения при $c_1 < 0$, $c > 0$ следует уже из того, что при изменении α от 0 до ∞ левая часть уравнения изменяется от $-\infty$ до $+\infty$, а правая – от 0 до $-\infty$. В случае, если c равно температуре

плавления ($c = 0$), то выражения (1.6) и (1.7) для определения коэффициентов принимают более простой вид:

$$A_2 = B_2 = 0, \quad A_1 = c_1, \quad B_1 = -\frac{c_1}{2a_1} \quad (1.8)$$

$$\Phi\left(\frac{\alpha}{2a_1}\right)$$

и

$$\frac{k_1 c_1 e^{-\frac{\alpha^2}{4a_1^2}}}{\alpha} = -\lambda \rho \alpha \frac{\sqrt{\pi}}{2}. \quad (1.9)$$

$$a_1 \Phi\left(\frac{\alpha}{2a_1}\right)$$

Положив $\frac{\alpha}{2a_1} = \beta$, можем переписать уравнение (1.9) в таком виде:

где постоянная D определяется выражением

$$D = \frac{\lambda \rho a_1^2}{k_1 c_1} < 0.$$

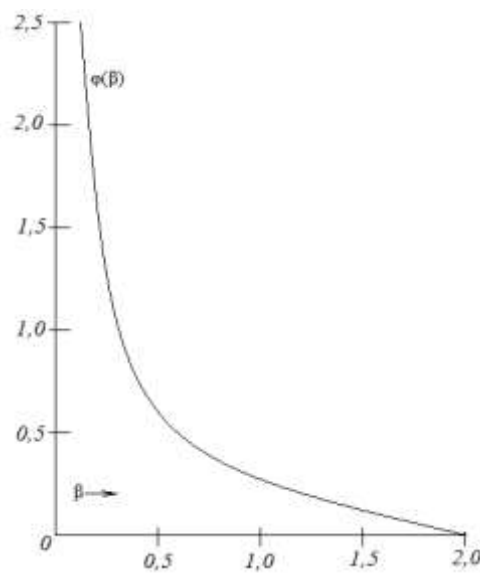
Воспользовавшись

$$\varphi(\beta) = \frac{e^{-\beta^2}}{\sqrt{\pi}}$$

$\sqrt{\pi} \Phi(\beta)$ (рис. 1.1) графически

графиком функции

легко определить



значение α .

Рисунок 1.1 – Графическое определение параметра α

Четвертой задачей Стефана является задача о процессе плавления слоя льда с нулевой начальной температурой и заданной температурой $f(t)$ на границе $x = 0$.

Ниже вследствие своей неординарности и изящества приводится идея приближенного решения четвертой задачи [2].

И. Стефан получил решение этой задачи в аналитически замкнутой форме лишь при $f \equiv \text{const}$ следующей процедурой: он предположил, что температура $u(x, t)$ талого слоя представляется в виде ряда

$$u(x, t) = f(t) + \frac{x^2}{2 \cdot a^2} f'(t) + \frac{x^4}{4! \cdot a^4} f''(t) + \dots + x \cdot F(t) + \\ + \frac{x^3}{3! \cdot a^2} \cdot F'(t) + \frac{x^5}{5! \cdot a^4} \cdot F''(t) + \dots,$$

где a^2 есть коэффициент температуропроводности талого слоя.

Неизвестная функция $F(t)$ подлежит определению из условия $u(x, t)|_{x=y(t)} = 0$, которое в развернутой форме имеет вид

$$f(t) + \frac{y^2(t)}{2 \cdot a^2} \cdot f'(t) + \frac{y^4(t)}{4! a^4} \cdot f''(t) + \dots + y(t) \cdot F(t) + \\ + \frac{y^3(t)}{3! \cdot a^2} \cdot F'(t) + \frac{y^5(t)}{5! \cdot a^4} \cdot F''(t) + \dots = 0$$

и из условия Стефана, $\lambda \cdot \rho \cdot y'(t) = \left(k_1 \frac{\partial u_1(x, t)}{\partial x} - k_2 \frac{\partial u_2(x, t)}{\partial x} \right) \Big|_{x=y(t)}$

которое в рассматриваемом случае приобретает вид

$$\frac{\lambda \rho}{k} \cdot y'(t) = - \frac{\partial u(x, t)}{\partial x} \Big|_{x=y(t)} = \\ = - \left\{ \frac{y(t)}{a^2} f'(t) + \frac{y^3(t)}{3! a^4} f''(t) + \dots + F(t) + \frac{y^2(t)}{2 a^2} F'(t) + \frac{y^4(t)}{4! a^4} F''(t) + \dots \right\}.$$

Из последних двух равенств, исключив функцию $F(t)$, можно получить первое приближение

$$f(t) - \frac{y^2(t)}{2 a^2} \cdot f'(t) - \dots - \frac{y^3(t)}{3 a^2} \cdot F'(t) - \dots = \frac{\lambda \rho}{k} \cdot y(t) \cdot y'(t) \quad (1.10)$$

Далее, в правой части (1.10) отбрасывая все члены, за исключением первого, И. Стефан получает следующую окончательную формулу для определения первого приближения решения рассматриваемой задачи:

$$\frac{\lambda \rho}{k} \cdot y(t) \cdot y'(t) = f(t) \quad (1.11)$$

Для получения второго приближения И. Стефан используют элементарное равенство

$$\left(\frac{\partial u(x, t)}{\partial t} + y'(t) \cdot \frac{\partial u(x, t)}{\partial x} \right) \Big|_{x=y(t)} = 0,$$

которое в развернутой форме означает следующее равенство:

$$f'(t) + \frac{y^2(t)}{2a^2} f''(t) + \dots + y(t)F'(t) + \frac{y^3(t)}{3!a^4} F'''(t) + \dots = \frac{\lambda\rho}{k} (y'(t))^2 \quad (1.12)$$

Исключая функции $F'(t)$ из первого приближения Стефана (1) и (3), а затем и пренебрегая всеми членами, содержащими производные порядка $k \geq 2$ от функций $f(t)$ и $F(t)$, И. Стефан получает, что

$$\frac{\lambda \cdot \rho}{k} \cdot y(t) \cdot y'(t) \cdot \left\{ 1 + \frac{y(t) \cdot y'(t)}{3 \cdot a^2} \right\} = f(t) - \frac{y^2(t)}{6 \cdot a^2} \cdot f'(t)$$

Далее И.Стефан предлагает продолжать эту процедуру для определения искомой функции $u(x, t)$. Очевидно, что невозможно построить точного решения рассматриваемой задачи подобным способом. Однако, уже первое приближение (1.11) дает неплохую аппроксимацию решения. А именно, предполагая, что $f'(t) \geq 0$ в малой окрестности $U_\varepsilon(t = 0)$, можно на основании принципа максимума показать, что

$$\lambda \cdot \rho \cdot y(t) \cdot y'(t) \leq k \cdot f(t),$$

причем

$$\lim_{t \rightarrow 0} \frac{\lambda \cdot \rho \cdot y(t) \cdot y'(t)}{k \cdot f(t)} = 1, \quad \text{т.е. } \lambda \cdot \rho \cdot y(t) \cdot y'(t) \Leftrightarrow k \cdot f(t).$$

2. ТОЧНОЕ РЕШЕНИЕ НАЧАЛЬНО-КРАЕВОЙ ЗАДАЧИ ДЛЯ УРАВНЕНИЯ АНОМАЛЬНОЙ ДИФФУЗИИ

2.1 Введение

Давно было замечено, что поведение некоторых процессов, таких как распространение тепла, диффузия и др. не укладывается в рамки классического описания с помощью дифференциальных уравнений с производными целого порядка. Однако, оказалось, что процессы, проходящие, в частности, во фрактальных средах, можно моделировать дифференциальными уравнениями, содержащими дробные производные [2, 3].

Отметим, что дробная производная по времени возникает при учете нелокальности по времени, которая связана с прилипанием диффундирующих атомов к стенкам пор [4].

К настоящему времени опубликовано большое количество работ, посвященных решению различного рода краевых задач для уравнений дробного порядка, но в основном численными методами [5–8]. Тем не менее, для проведения достаточно полного «качественного» исследования изучаемой проблемы, желательно использование точных решений.

В данной работе получено точное решение начально-краевой задачи для уравнения аномальной диффузии с дробной производной по времени.

2.2 Постановка задачи и математическая модель

Будем изучать аномальную диффузию в ограниченном стержне $0 < x < l$. Будем считать, что вещество равномерно распределено внутри интервала $(0, l)$, на одном из торцов поддерживается постоянная температура, а другой конец изолирован. Задача сводится к решению уравнения

$$\left(D_{0+t}^{\alpha} u\right)(x, t) = \lambda^2 \frac{\partial^2 u(\alpha, t)}{\partial x^2} \quad (2.1)$$

при начальном условии

$$u|_{t=0} = u_0 \quad (2.2)$$

и граничных условиях

$$\left(D_{0+t}^{1-\alpha} u\right)(0, t) = 0, \quad (2.3)$$

$$u(l, t) = u_1$$

Здесь

$$\left(D_{0+t}^{\alpha} u\right)(x, t) = \frac{1}{\Gamma(1-\alpha)} \frac{\partial}{\partial t} \int_0^t \frac{u(x, \tau)}{(t-\tau)^{\alpha}} d\tau$$

дробная производная Римана-Лиувилля относительно $t=0$ порядка

. Здесь мы будем полагать, что $0 < \alpha < 1$, то есть в данной статье рассматривается «медленная» диффузия, а λ^2 – коэффициент диффузии.

2.3 Решение задачи

К уравнению (2.1) и также к начальному (2.2) и граничным (2.3) условиям применим преобразование Лапласа относительно переменной t

$$U(x,s) = \int_0^{\infty} u(x,t)e^{-st} dt$$

В результате приходим к операторному уравнению

$$\frac{d^2 U}{dx^2} - \frac{s^\alpha}{x^2} U = -\frac{u_0}{\lambda^2} \quad (2.4)$$

и следующим граничным условиям

$$\left. \frac{dU}{dx} \right|_{x=0} = 0, \quad U|_{x=l} = \frac{u_1}{s}. \quad (2.5)$$

Общее решение операторного уравнения (2.4) имеет вид

$$U = \frac{u_0}{s^\alpha} + c_1 \cdot sh\left(\frac{x}{\lambda} s^{\frac{\alpha}{2}}\right) + c_2 \cdot ch\left(\frac{x}{\lambda} s^{\frac{\alpha}{2}}\right).$$

Произвольные постоянные c_1 и c_2 определим учитывая граничные условия (2.5). Имеем:

$$\left. \begin{aligned} \left. \frac{dU}{dx} \right|_{x=0} = c_2 ch\left(\frac{s^{\alpha/2}}{\lambda}\right) = 0 \\ U|_{x=l} = \frac{u_0}{s^\alpha} + c_1 \cdot sh\left(\frac{l}{\lambda} s^{\frac{\alpha}{2}}\right) + c_2 \cdot ch\left(\frac{l}{\lambda} s^{\frac{\alpha}{2}}\right) = \frac{u_1}{s} \end{aligned} \right\} \quad (2.6)$$

Из системы (2.6) получим

$$c_1 = 0, \quad c_2 = \frac{\left(\frac{u_1}{s} - \frac{u_0}{s^\alpha}\right)}{ch\left(\frac{l}{\lambda} s^{\frac{\alpha}{2}}\right)}.$$

Таким образом, решение в изображениях имеет вид

$$U(x, s) = \frac{u_0}{s^\alpha} - \left(\frac{u_1}{s} - \frac{u_0}{s^\alpha} \right) \cdot \frac{ch\left(\frac{x}{\lambda} s^{\frac{\alpha}{2}}\right)}{ch\left(\frac{l}{\lambda} s^{\frac{\alpha}{2}}\right)}. \quad (2.7)$$

Для перехода от изображения $U(x, s)$ к оригиналу воспользуемся обобщенным правилом дробных показателей [9].

Теорема. Пусть $U(x, s) \rightarrow 0$ при $s \rightarrow \infty$, $\text{Re } s < 0$ и не имеет в конечной s -плоскости никаких особенностей, кроме начала координат $s = 0$, которое является точкой разветвления конечного порядка q .

Тогда, если разложение $U(x, s)$ в обобщенный ряд имеет вид:

$$U(x, s) = s^\alpha \sum_{k=0}^{\infty} c_k(x) s^{\beta k},$$

где β - рационально и положительно, то оригиналом $U(x, s)$ служит (умноженный на функцию Хевисайда $\eta(t)$) ряд

$$u(x, t) = \frac{1}{t^{\alpha+1}} \sum_{k=0}^{\infty} \frac{c_k(x)}{\Gamma(-\alpha - k\beta)} \cdot \frac{1}{t^{k\beta}},$$

$$\Gamma(-\alpha - k\beta)$$

в котором вычеркнуты все члены с целыми неотрицательными $\alpha + k\beta$.

Действительно, обратимся к выражению (2.7). Гиперболические функции $ch\left(\frac{x}{\lambda} s^{\frac{\alpha}{2}}\right)$ и $ch\left(\frac{l}{\lambda} s^{\frac{\alpha}{2}}\right)$ представим в виде обобщенных степенных рядов:

$$ch\left(\frac{x}{\lambda} s^{\alpha/2}\right) = \sum_{k=0}^{\infty} \frac{1}{(2k)!} \left(\frac{x}{\lambda} s^{\alpha/2}\right)^{2k} = \sum_{k=0}^{\infty} b_k(x) s^{\alpha k}, \quad (2.8)$$

$$ch\left(\frac{l}{\lambda} s^{\alpha/2}\right) = \sum_{k=0}^{\infty} \frac{1}{(2k)!} \left(\frac{l}{\lambda} s^{\alpha/2}\right)^{2k} = \sum_{k=0}^{\infty} b_k(x) s^{\alpha k}, \quad (2.9)$$

где

$$b_k(x) = \frac{1}{(2k)!} \left(\frac{x}{\lambda}\right)^{2k}, \quad a_k(x) = \frac{1}{(2k)!} \left(\frac{l}{\lambda}\right)^{2k}.$$

Выполнив деление степенных рядов (2.8) и (2.9), получим ряд

$$\frac{1}{a_0} \sum_{k=0}^{\infty} c_k(x) s^{\alpha k},$$

где коэффициенты $c_k(x)$ находятся последовательно из соотношений

$$\begin{aligned} a_0 c_0 &= b \\ a_0 c_1 + a_1 c_0 &= b_1 \\ \dots\dots\dots \\ a_0 c_n + a_1 c_{n-1} + \dots + a_n c_0 &= b_n \\ \dots\dots\dots \end{aligned}$$

Здесь аргумент x для $b_k(x)$ опущен.

Таким образом, изображение $U(x, s)$ может быть представлено в виде ряда

$$U(x, s) = \frac{u_0}{s^\alpha} + \frac{1}{a_0} \left(\frac{u_1}{s} - \frac{u_0}{s^\alpha} \right) \sum_{k=0}^{\infty} c_k(x) s^{\alpha k} \quad (2.10)$$

Тогда согласно сформированной ранее теореме находим, что оригиналом для (2.10) служит выражение

$$u(x, t) = u_0 + \frac{u_1}{a_0} \sum_{k=0}^{\infty} \frac{c_k(x)}{\Gamma(1 - k\alpha)} \cdot \frac{1}{t^{k\alpha}} - \frac{u_0}{a_0 t^{\frac{\alpha}{2} + 1}} \sum_{k=0}^{\infty} \frac{c_k(x)}{\Gamma(1 - k\alpha)} \cdot \frac{1}{t^{k\alpha}}$$

где $\Gamma(z)$ – гамма-функция.

Полученное решение можно использовать для проведения численных экспериментов при моделировании процессов аномальной диффузии в системах, обладающих фрактальной структурой.

3. РАСЧЁТ ТЕМПЕРАТУРНЫХ ПОЛЕЙ В СОСТАВНОМ ПОЛУБЕСКОНЕЧНОМ ТЕЛЕ С УЧЁТОМ ОБОБЩЁННОГО ЗАКОНА ФУРЬЕ

Температурные поля в протяжённых телах, а также телах, обладающих симметрией, могут быть с большой точностью описаны одномерным уравнением теплопроводности. В данной работе полупространство со слоем моделируется одномерным составным стержнем и рассматривается задача о расчёте температурных полей в составном полубесконечном стержне, конечная и полубесконечная части которого имеют различные теплофизические параметры. В качестве математической модели принято уравнение теплопроводности с дробной производной по времени, которая учитывает нелокальность тепловых процессов по времени. Предполагается, что боковые поверхности составного стержня теплоизолированы, а на одном из концов ограниченной его части поддерживается постоянная температура. На границе ограниченной и полубесконечной части стержня предполагается идеальный тепловой контакт. Решение начально-краевой задачи основано на применении прямого и обратного преобразований Лапласа. Обращение полученного решения в изображениях в общем случае представляет значительные трудности.

В работе выполнен асимптотический анализ решения при условии, что порядки дробных производных в обеих частях стержня равны между собой, а переменная s преобразования Лапласа стремится к бесконечности. В этом случае обратное преобразование Лапласа получено с использованием так называемых функций Маинарди. На основании

тауберовых теорем можно утверждать, что полученное решение является решением для малых времён и представлено в виде определённых интегралов от функций Маинарди или, вообще говоря, в виде обобщённых степенных рядов. В таком виде оно может быть достаточно просто использовано в инженерных расчётах.

3.1 Постановка задачи

Учёт фрактальности структуры или нелокальной временной зависимости между тепловым потоком и градиентом температуры приводит к дифференциальному уравнению теплопроводности с дробными производными [10].

При выводе классического уравнения теплопроводности [11]

$$\frac{\partial T}{\partial t} = a^2 \frac{\partial^2 T}{\partial x^2},$$

где $a^2 = \frac{\lambda}{c\rho}$ – коэффициент температуропроводности; λ – коэффициент

теплопроводности; ρ – плотность, использовался закон Фурье, который задаётся линейной зависимостью между вектором теплового потока $\bar{q}(t)$ и градиентом температур $\bar{q}(t) = -\lambda \text{grad}T(t)$.

В данной работе мы будем рассматривать дифференциальные уравнения с дробной производной по времени вида

$$\frac{\partial^\alpha T}{\partial t^\alpha} = a^2 \frac{\partial^2 T}{\partial x^2},$$

которые получены благодаря обобщению закона Фурье, позволяющему учитывать нелокальность тепловых процессов

$$\bar{q}(t) = -\frac{\lambda}{\Gamma(\alpha)} \frac{\partial}{\partial t} \int_0^t (t-\tau)^{\alpha-1} \text{grad}T(\tau) d\tau,$$

$$0 < \alpha \leq 1.$$

При выводе уравнения с дробной производной учтено, что

$$\frac{\partial^\alpha T}{\partial t^\alpha} = \frac{1}{\Gamma(1-\alpha)} \int_0^1 (t-\tau)^{-\alpha} \frac{\partial T(x, \tau)}{\partial \tau} d\tau,$$

$$0 < \alpha < 1$$

и является производной в смысле Капуто, а $\Gamma(z)$ – гамма-функция Эйлера [12].

Рассмотрим систему, состоящую из ограниченного и полубесконечного стержней, имеющих различные теплофизические постоянные и предположим, что боковые поверхности стержней теплоизолированы (рис. 3.1), а на одном из концов ограниченного стержня поддерживается постоянная температура.

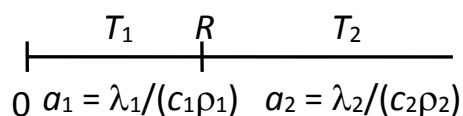


Рисунок 3.1 Составной стержень и его теплофизические постоянные

Цель работы состоит в определении температурных полей в составном стержне.

Будем считать, что температурное поле описывается уравнениями с дробными по времени производными

$$\frac{\partial^\alpha T_1(x, t)}{\partial t^\alpha} = a_1^2 \frac{\partial^2 T_1(x, t)}{\partial x^2}, \quad (3.1)$$

$$0 < x < R, \quad 0 < \alpha < 1,$$

$$\frac{\partial^\beta T_2(x, t)}{\partial t^\beta} = a_2^2 \frac{\partial^2 T_2(x, t)}{\partial x^2}, \quad (3.2)$$

$$R < x < \infty, \quad 0 < \beta < 1$$

с начальными условиями

$$T_1(x, 0) = 0, \quad T_2(x, 0) = 0, \quad (3.3)$$

граничными условиями

$$T_1(0, \tau) = T_0 = \text{const}, \quad \lim_{x \rightarrow \infty} T_2(x, \tau) = 0, \quad (3.4)$$

а также условиями идеального теплового контакта при $x = R$

$$T_1(R, \tau) = T_2(R, \tau), \quad (3.5)$$

$$\lambda_1 \left. \frac{\partial T_1(x, \tau)}{\partial x} \right|_{x=R} = \lambda_2 \left. \frac{\partial T_2(x, \tau)}{\partial x} \right|_{x=R}. \quad (3.6)$$

3.2 Решение задачи

Для решения задачи воспользуемся операционным методом и перейдём к изображениям Лапласа. Уравнения (3.1), (3.2) с учётом начальных условий приобретают вид

$$\frac{\partial^2 T_1^*(x, s)}{\partial x^2} - \frac{s^\alpha}{a_1^2} T_1^*(x, s) = 0, \quad (3.7)$$

$$\frac{\partial^2 T_2^*(x, s)}{\partial x^2} - \frac{s^\beta}{a_2^2} T_2^*(x, s) = 0. \quad (3.8)$$

Здесь также учтено, что

$$L\left\{\frac{\partial^\alpha u(x,t)}{\partial t^\alpha}\right\} = s^\alpha U^*(x,s) - \sum_{i=0}^{n-1} s^{\alpha-i-1} u^{(i)}(x,0),$$

$$n-1 < \alpha \leq n.$$

Здесь символом «*» отмечено изображение Лапласа функции $u(x,t)$. Уравнения (3.7), (3.8) являются обыкновенными дифференциальными уравнениями относительно изображений $T^*(x,s)$ и их решения имеют вид:

$$T_1^*(x,s) = C_1 \exp\left(\frac{s^{\alpha/2}}{a_1} x\right) + C_2 \exp\left(-\frac{s^{\alpha/2}}{a_1} x\right),$$

$$T_2^*(x,s) = D_1 \exp\left(\frac{s^{\beta/2}}{a_2} x\right) + D_2 \exp\left(-\frac{s^{\beta/2}}{a_2} x\right),$$

где C_1, C_2, D_1, D_2 – произвольные постоянные.

Учитывая граничное условие $T_1(0,\tau) = T_0$ и условие на бесконечности, получим

$$C_2 = \frac{T_0}{s} - C_1, \quad D_1 = 0.$$

Далее, удовлетворяя условием идеального теплового контакта (3.5), (3.6) приходим к системе линейных алгебраических уравнений относительно неизвестных пока C_1 и D_2

$$\begin{cases} 2\text{sh}\left(\frac{s^{\alpha/2}}{a_1} R\right) C_1 - \exp\left(-\frac{s^{\beta/2}}{a_2} R\right) D_2 = -\frac{T_0}{s} \exp\left(-\frac{s^{\alpha/2}}{a_1} R\right), \\ \frac{2\lambda_1 s^{\alpha/2}}{a_1} \text{ch}\left(\frac{s^{\alpha/2}}{a_1} R\right) C_1 + \frac{\lambda_2 s^{\beta/2}}{a_2} \exp\left(-\frac{s^{\beta/2}}{a_2} R\right) D_2 = -\frac{s^{\alpha/2} T_0 \lambda_1}{s a_1} \exp\left(-\frac{s^{\alpha/2}}{a_1} R\right). \end{cases}$$

Решение системы получим с помощью формул Крамера

$$C_1 = \frac{\Delta_1}{\Delta}, \quad D_2 = \frac{\Delta_2}{\Delta},$$

где

$$\Delta = \begin{vmatrix} 2\operatorname{sh}\left(\frac{s^{\alpha/2}}{a_1}R\right) & -\exp\left(-\frac{s^{\beta/2}}{a_2}R\right) \\ 2a_2\lambda_1s^{\alpha/2}\operatorname{ch}\left(\frac{s^{\alpha/2}}{a_1}R\right) & a_1\lambda_2s^{\beta/2}\exp\left(-\frac{s^{\alpha/2}}{a_2}R\right) \end{vmatrix},$$

$$\Delta_1 = \begin{vmatrix} -\frac{T_0}{s}\exp\left(-\frac{s^{\alpha/2}}{a_1}R\right) & \exp\left(-\frac{s^{\alpha/2}}{a_2}R\right) \\ \frac{-s^{\alpha/2}T_0\lambda_1a_2}{s}\exp\left(\frac{-s^{\alpha/2}}{a_1}R\right) & a_1\lambda_2s^{\beta/2}\exp\left(\frac{-s^{\alpha/2}}{a_2}R\right) \end{vmatrix},$$

$$\Delta_2 = \begin{vmatrix} 2\operatorname{sh}\left(\frac{s^{\alpha/2}}{a_1}R\right) & -\frac{T_0}{s}\exp\left(-\frac{s^{\alpha/2}}{a_1}R\right) \\ 2a_2\lambda_1s^{\alpha/2}\operatorname{ch}\left(\frac{s^{\alpha/2}}{a_1}R\right) & \frac{-s^{\alpha/2}T_0\lambda_1a_2}{s}\exp\left(\frac{-s^{\alpha/2}}{a_1}R\right) \end{vmatrix}.$$

Решая систему, получим

$$C_2 = \frac{T_0}{s} \left[\lambda_1 (a_2 s^{\alpha/2} - a_1 s^{\beta/2}) \exp\left(-\frac{s^{\alpha/2}}{a_1}R\right) \right] \left[a_1 \lambda_2 s^{\beta/2} \operatorname{sh}\left(\frac{s^{\alpha/2}}{a_1}R\right) + a_2 \lambda_1 s^{\alpha/2} \operatorname{ch}\left(\frac{s^{\alpha/2}}{a_1}R\right) \right]^{-1},$$

$$D_2 = \frac{T_0}{s} \left[s^{\alpha/2} \lambda_1 \left(a_1 \operatorname{sh}\left(\frac{s^{\alpha/2}}{a_1}R\right) + a_2 \operatorname{ch}\left(\frac{s^{\alpha/2}}{a_1}R\right) \right) \right] \left[a_1 \lambda_2 s^{\beta/2} \operatorname{sh}\left(\frac{s^{\alpha/2}}{a_1}R\right) + a_2 \lambda_1 s^{\alpha/2} \operatorname{ch}\left(\frac{s^{\alpha/2}}{a_1}R\right) \right]^{-1}.$$

Отсюда

$$C_2 = \frac{T_0}{s} - \frac{T_0}{s} \left[\lambda_1 (a_2 s^{\alpha/2} - a_1 s^{\beta/2}) \exp\left(-\frac{s^{\alpha/2}}{a_1} R\right) \right] \left[a_1 \lambda_2 s^{\beta/2} \operatorname{sh}\left(\frac{s^{\alpha/2}}{a_1} R\right) + a_2 \lambda_1 s^{\alpha/2} \operatorname{ch}\left(\frac{s^{\alpha/2}}{a_1} R\right) \right]^{-1}.$$

Таким образом, решение в изображениях имеет вид

$$T_1^* = \frac{2\lambda_1 T_0}{s} (a_2 s^{\alpha/2} - a_1 s^{\beta/2}) \exp\left(-\frac{s^{\alpha/2}}{a_1} R\right) \operatorname{sh}\left(\frac{s^{\alpha/2}}{a_2} x\right) \left[a_1 \lambda_2 s^{\beta/2} \operatorname{sh}\left(\frac{s^{\alpha/2}}{a_1} R\right) + a_2 \lambda_1 s^{\alpha/2} \operatorname{ch}\left(\frac{s^{\alpha/2}}{a_1} R\right) \right]^{-1} +$$

$$+ \frac{T_0}{s} \exp\left(-\frac{s^{\alpha/2}}{a_1} x\right).$$

$$T_2^* = \left(s^{\alpha/2} \lambda_1 \left[a_1 \operatorname{sh}\left(\frac{s^{\alpha/2}}{a_1} R\right) + a_2 \operatorname{ch}\left(\frac{s^{\alpha/2}}{a_1} R\right) \right] \exp\left(-\frac{s^{\beta/2}}{a_2} x\right) \right) \left[a_1 \lambda_2 s^{\beta/2} \operatorname{sh}\left(\frac{s^{\alpha/2}}{a_1} R\right) + a_2 \lambda_1 s^{\alpha/2} \operatorname{ch}\left(\frac{s^{\alpha/2}}{a_1} R\right) \right]^{-1} \frac{T_0}{s}.$$

Обращение полученных выражений представляет значительные трудности и требует привлечения численных методов.

В этой связи рассмотрим асимптотическое поведение решений при $t \rightarrow 0$. Далее воспользуемся тем фактом, что поведение изображения $U^*(x, s)$ на бесконечности ($s \rightarrow \infty$) определяет асимптотическое поведение решения $u(x, t)$ вблизи нуля. Любое подобное соотношение между $U^*(x, s)$ и $u(x, t)$ называется тауберовой теоремой. Учитывая сказанное, имеем

$$\operatorname{sh}\left(\frac{R}{a_1} s^{\alpha/2}\right) = \frac{1}{2} \exp\left(\frac{R}{a_1} s^{\alpha/2}\right) \left(1 - \exp\left(-\frac{2R}{a_1} s^{\alpha/2}\right) \right)$$

и, следовательно,

$$\operatorname{sh}\left(\frac{R}{a_1} s^{\alpha/2}\right) \approx \frac{1}{2} \exp\left(\frac{R}{a_1} s^{\alpha/2}\right)$$

при $s \rightarrow \infty$.

Аналогичное соотношение справедливо и для гиперболического косинуса.

Таким образом, для больших значений переменной преобразования s имеем приближенные выражения для T_1^* и T_2^* :

$$T_1^* = \frac{T_0}{s} 2\lambda_1 (a_2 s^{\alpha/2} - a_1 s^{\beta/2}) \exp\left(-\frac{s^{\alpha/2}}{a_1} R\right) \exp\left(\frac{s^{\alpha/2}}{a_2} x\right) [a_1 \lambda_2 s^{\beta/2} + a_2 \lambda_1 s^{\alpha/2}]^{-1} + \frac{T_0}{s} \exp\left(-\frac{s^{\alpha/2}}{a_1} x\right), \quad (3.9)$$

$$0 < x < R.$$

$$T_2^* = \frac{T_0}{s} \lambda_1 (a_1 + a_2) s^{\alpha/2} \exp\left(-\frac{s^{\alpha/2}}{a_2} x\right) [a_1 \lambda_2 s^{\beta/2} + a_2 \lambda_1 s^{\alpha/2}]^{-1}, \quad (3.10)$$

$$R < x < \infty.$$

И, наконец, в частном случае, когда $\alpha = \beta$ выражения (3.9) и (3.10) приобретают вид

$$T_1^*(x, s) = \frac{T_0}{s} \exp\left(-\frac{s^{\alpha/2}}{a_1} x\right) + \frac{2T_0 \lambda_1 (a_2 - a_1)}{s(a_1 \lambda_2 + a_2 \lambda_1)} \exp\left(-\frac{(2R - x)s^{\alpha/2}}{a_1}\right), \quad (3.11)$$

$$0 < x < R,$$

$$T_2^*(x, s) = \frac{T_0}{s} \frac{\lambda_2 (a_1 + a_2)}{a_1 \lambda_2 + a_2 \lambda_1} \exp\left(-\frac{s^{\alpha/2}}{a_2} x\right), \quad (3.12)$$

$$R < x < \infty.$$

Чтобы в выражениях (3.11), (3.12) перейти к оригиналам, заметим, что

$$L^{-1}\left\{\exp(-as^\gamma)\right\} = \frac{a^\gamma}{t^{\gamma+1}} M\left(\gamma; at^\gamma\right),$$

где

$$M(\gamma; z) = \sum_{k=0}^{\infty} \frac{(-1)^k z^k}{k! \Gamma(-\gamma k + 1 - \gamma)},$$

и, кроме того,

$$L^{-1}\left\{\frac{F(s)}{s}\right\} = \int_0^t f(t) dt.$$

Тогда

$$T_1(x, t) = T_0 \int_0^t \frac{\alpha x}{2a_1 t^{\alpha/2+1}} M\left(\frac{\alpha}{2}; \frac{t^{\alpha/2}}{a_1} x\right) dt + \frac{2T_0 \lambda_1 (a_2 - a_1)}{a_1 \lambda_2 + a_2 \lambda_1} \int_0^t \frac{\alpha (2R - x)}{2a_1 t^{\alpha/2+1}} M\left(\frac{\alpha}{2}; \frac{t^{\alpha/2}}{a_1} (2R - x)\right) dt,$$

$$T_2(x, t) = \frac{T_0 \lambda_2 (a_1 + a_2)}{a_1 \lambda_2 + a_2 \lambda_1} \int_0^t \frac{\alpha x}{2a_2 t^{\alpha/2+1}} M\left(\frac{\alpha}{2}; \frac{t^{\alpha/2}}{a_2} x\right) dt.$$

3.3 Выводы

С помощью методов операционного исчисления получено в замкнутом виде решение задачи аномальной теплопроводности, то есть получена возможность вычисления температур как в конечной, так и бесконечной части стержня. Численные результаты могут быть получены без применения сложных вычислительных алгоритмов, что представляется полезным в инженерных расчётах и могут быть применены при исследовании так называемых переходных процессов.

В работе получено решение задачи аномальной теплопроводности в системе ограниченного и полуограниченного тел. В общем случае решение получено в изображениях Лапласа, обращение которого требует

привлечения численных методов. Однако, в частном случае $\alpha = \beta$ решение для малых величин времени получено в аналитическом виде и представлено в виде степенных рядов или функций Маинарди.

ЗАДАЧА СТЕФАНА В СЛУЧАЕ АНОМАЛЬНОЙ ДИФФУЗИИ

В предыдущих параграфах нами получены точные решения дробных дифференциальных уравнений теплопроводности для двух случаев: для полубесконечного стержня и для полубесконечного составного стержня. В данном параграфе рассмотрим решения прямой задачи Стефана, которая, как известно [], заключается в определении закона движения границы раздела фаз, а также определения температуры каждой фазы.

Итак, пусть двухфазная среда описывается системой уравнений с дробными производными

$$\frac{\partial^\alpha u_1(x, t)}{\partial t^\alpha} = a_1^2 \frac{\partial^2 u_1(x, t)}{\partial x^2}, \quad 0 < x < \xi(t) \quad (4.1)$$

$$\frac{\partial^\alpha u_2(x, t)}{\partial t^\alpha} = a_2^2 \frac{\partial^2 u_2(x, t)}{\partial x^2}, \quad \xi(t) < x < \infty \quad (4.2)$$

$$0 < \alpha \leq 1$$

Здесь $\frac{\partial^\alpha}{\partial t^\alpha}$ и по определению

$$\frac{\partial^\alpha u_1(x, t)}{\partial t^\alpha} = \frac{1}{\Gamma(1-\alpha)} \int_0^t \frac{u'_\tau(x, \tau)}{(t-\tau)^\alpha} d\tau$$

$$\Gamma(1-\alpha)$$

производная Капуто, учитывающая в данном случае, эффекты памяти изучаемой среды.

Зададимся начальными и граничными условиями, которые в нашем случае имеют вид

$$u_1(x, \tau)|_{x=0} = \bar{u}_0, \quad (4.3)$$

$$u_2(x, t)|_{t=0} = \bar{u}_1, \quad (4.4)$$

а также условиями сопряжения на границе раздела фаз

$$u_1(x, t) = u_2(x, t) = \bar{u}_2, \quad \text{при } x = \xi(t) \quad (4.5)$$

и

$$a_1 \frac{\partial^\alpha u_1(x, t)}{\partial t^\alpha} - a_2 \frac{\partial^\alpha u_2(x, t)}{\partial t^\alpha} = \lambda p \frac{d\xi}{dt}, \quad \text{при } x = \xi(t) \quad (4.6)$$

Рассмотрим задачу Стефана в следующей постановке:

$$\frac{\partial^\alpha u}{\partial t^\alpha} = a^2 \frac{\partial^2 u}{\partial x^2}, \quad 0 < x < \xi(t) \quad (4.7)$$

$$u = u_0 = \text{const} \quad \text{при } x = 0 \quad (4.8)$$

$$u = u_t = \text{const} \quad \text{при } x = \xi(t) \quad (4.9)$$

$$\frac{\partial^\alpha \xi(t)}{\partial t^\alpha} = q \cdot \left. \frac{\partial u}{\partial x} \right|_{x=\xi(t)} \quad (4.10)$$

$$\xi(0) = 0 \quad (4.11)$$

Для перехода к однородным граничным условиям введем новую функцию

$$\bar{u} = u - u_0$$

после чего получим

$$\frac{\partial^\alpha \bar{u}}{\partial t^\alpha} = a^2 \frac{\partial^2 \bar{u}}{\partial x^2}, \quad 0 < x < \xi(t) \quad (4.12)$$

$$\bar{u} = 0 \quad \text{при } x = 0, \quad (4.13)$$

$$u = u_1 - u_0 \quad \text{при } x = \xi(t), \quad (4.14)$$

$$\frac{\partial^\alpha \xi(t)}{\partial t^\alpha} = q \cdot \left. \frac{\partial u}{\partial x} \right|_{x=\xi(t)}, \quad (4.15)$$

$$\xi(0) = 0. \quad (4.16)$$

Для решения задачи (4.12) – (4.16) воспользуемся решением начально-краевой задачи, полученным в работах Маинард.

Из указанных работ известно, что решение для бесконечной среды может быть представлено в виде

$$u(x, t) = \int_{-\infty}^{+\infty} G(x - \xi, t) \cdot f(\xi) d\xi \quad (4.17)$$

где

$$G(x, t) = \frac{1}{2a} t^{-\frac{\alpha}{2}} M\left(\frac{|\alpha|}{t^{\frac{\alpha}{2}}}, \frac{\alpha}{2}\right). \quad (4.18)$$

а $M(z, \alpha)$ – функция Маинарди.

Для полубесконечной среды, используя свойства функции (4.18), мы получим

$$\bar{u} = A \left[1 - M\left(-\frac{|\alpha|}{at^{\frac{\alpha}{2}}}, -\frac{\alpha}{2}\right) \right],$$

где A – постоянная, подлежащая определению.

Учитывая, что $\bar{u} = u - u_0$ получим

$$u_1 - u_0 = \bar{u}(t, \xi(t)) = A \left[1 - M\left(-\frac{|\alpha|}{at^{\frac{\alpha}{2}}}, -\frac{\alpha}{2}\right) \right], \quad (4.19)$$

откуда следует, что $\xi(t)$ пропорционально $t^{\frac{\alpha}{2}}$, а значит

$$\xi(t) = Cat^{\frac{\alpha}{2}},$$

где C – постоянная, пока неизвестная, и которую можно определить исходя из условия (4.15).

Действительно

$$\frac{\partial \bar{u}}{\partial x} = A \frac{1}{at^{\frac{\alpha}{2}}} M\left(-p, -\frac{\alpha}{2}\right)$$

и тогда

$$\frac{\alpha^2}{q} \frac{\Gamma\left(1 + \frac{\alpha}{2}\right)}{\Gamma\left(1 - \frac{\alpha}{2}\right)} \cdot C = AM\left(-p, -\frac{\alpha}{2}\right)$$

$$\Gamma\left(1 - \frac{\alpha}{2}\right)$$

Для определения параметра C получим трансцендентное уравнение

$$p \cdot \frac{1 - M\left(-p, -\frac{\alpha}{2}\right)}{M\left(-p, -\frac{\alpha}{2}\right)} = \frac{\Gamma\left(1 - \frac{\alpha}{2}\right)}{a^2} \cdot q(u_1 - u_0)$$

$$\Gamma\left(1 + \frac{\alpha}{2}\right)$$

и при этом постоянная A имеет вид

$$A = \frac{u_1 - u_0}{1 - M\left(-p, -\frac{\alpha}{2}\right)}.$$

Окончательно

$$u(x, t) = u_0 + (u_1 - u_0) \cdot \frac{1 - M\left(-\frac{x}{at^2}, -\frac{\alpha}{2}\right)}{1 - M\left(-p, -\frac{\alpha}{2}\right)}.$$

ПЕРЕЧЕНЬ ССЫЛОК

1. Тихонов А.Н., Самарский А.А. Уравнения математической физики. М.: Наука, 1972. – 736 с.
2. Мейланов Р.П. К теории фильтрации в пористых средах с фрактальной структурой // Письма ИСТФ – 1996. – Т.22. - №23. – с.40-43.
3. Нахушев А.М. Элементы двойного исчисления и их применение. Нальчик.: Изд-во КБНЦ РАН, 2000- - 299с.
4. Головизнин В.М., Короткий И.А. Методы численного решения некоторых одномерных уравнений с дробными производными и дифференциальные уравнения, 2001. – т.42, №7. – с.407-413
5. Бейбалаев В.Д. Численный метод решения математической модели теплопереноса в средах с фрактальной структурой // Фундаментальные исследования. – 2007. -12. –с.249-251.
6. Корчагина А.Н. Численное моделирование диффузионных процессов в фрактальных средах // Ученые записки ЗГУ. Серия: Физика, математика, техника, технология. – 2013. - №3 (50). – с.53-59.
7. Lin Junyi, Xu Mingyu. Some exact solutions to Stefan problems with fractional and Applications // Journal of Mathematical Analysis and Applications. 2009. V351 – p.536-542.
8. Kulish V.V. Large Fractional-Diffusion Solutions for Transient Local Temperature and Heat Flux // I.Heat Transfer. 2000, v. 122, inssue 2. – p.372-377.
9. Лаврентьев М.А., Шабат Б.В. Методы теории функций комплексного переменного. М.: Наука, 1965. – 716 с.
10. Самко, С. Г., А. А. Килбас, О. И. Маричев Интегралы и производные дробного порядка и некоторые их приложения // Наука и техника. – Минск, 1987. – С. 688.

11. Лыков, А. В. Теория теплопроводности [Текст] / А. В. Лыков. – М. : Высшая школа, 1967.
12. Mainardi, F. The fundamental solutions for the fractional diffusion wave equation // *Appl. Math. Lett.* – 1996. – № 9. – P. 23–28.
13. Николенко В. В., Ячменёв В.А. Решение начально-краевой задачи для уравнения аномальной диффузии // *Вісник Харківського національного університету. Серія: Математическое моделирование, информационные технологии, автоматизированные системы управления, № 27, – Харьков – 2015.*
14. Николенко В. В., Ячменёв В.А. Расчёт температурных полей в составном полубесконечном теле с учетом обобщенного закона Фурье // *Вісник НТУ «ХПИ». Серія: Енергетичні та теплотехнічні процеси й устаткування. – Харків: НТУ «ХПИ», 2016.*